# 基于双目视觉的工件位姿检测

龚友彬<sup>1</sup> 康 曦<sup>1,2</sup> 王 军<sup>1</sup> GONG Youbin KANG Xi WANG Jun

# 摘要

基于双目视觉技术的工件位姿检测,旨在提高工业自动化中的精确度和效率。首先完成了双目系统的标定,利用张正友标定法对双目相机进行了详细的内外参数标定。随后,采用 SURF 算法对目标工件的特征点进行快速且鲁棒的提取,为位姿检测提供了关键的视觉特征。在位姿检测方法的研究中,结合了三维空间定位技术和双目视觉的优势,设计了一种新的工件空间定位方法。该方法通过计算工件特征点在双目图像中的对应关系,实现了对工件空间姿态的准确测量。此外,探索了工件偏转角的定位方法,进一步提高了位姿检测的精度。实验结果表明,所设计的双目视觉系统能够有效地对工业工件进行位姿检测,具有较高的精度和可靠性。

## 关键词

双目视觉技术; 工件位置检测; 特征点提取; 机器视觉; 目标定位

doi: 10.3969/j.issn.1672-9528.2024.11.033

## 0 引言

随着计算机性能的不断提升, 机器视觉已经成为当今社 会的一种重要生产辅助工具,工业机器人结合基于视觉的识 别与定位技术在多领域得到广泛应用,尤其是在工业 4.0[1] 和 "中国制造 2025"[2] 的趋势下,工件位姿检测已成为自动化 生产的关键一环。将机器视觉技术运用到计算机和机器人工 业生产中, 不仅大大提高了工作效率和自动化程度, 而且还 保证了工业生产环境的可靠。本文利用双目视觉技术对圆柱 形工件进行位置检测。首先使用张氏标定法[3],推导拍摄图 片中标定模版的特征点和其成像平面中像点的对应关系[4], 进而得到双目相机的内参数<sup>[5]</sup>和外参数<sup>[6]</sup>。在基于 SURF 算 法<sup>[7]</sup> 和欧式空间<sup>[8]</sup> 对目标工件进行三维重建<sup>[9]</sup>,用 SURF 算 法对双目相机得到的目标工件的图片进行运算,得到图像的 二维特征点;然后通过欧式空间将 SURF 算法得到的目标工 件二维特征点映射成三维坐标:最后进行目标工件的空间定 位, 计算工件的姿态, 得到工件的中心点坐标和偏航角[10]及 俯仰角[11]。

## 1 双目立体视觉标定结果

1.1 双目立体视觉标定原理

张氏标定法中,世界坐标系和相机坐标系的转换关系:

$$\begin{bmatrix} X_C \\ Y_C \\ Z_C \end{bmatrix} = \begin{bmatrix} R & T \\ O_3^T & 1 \end{bmatrix} \begin{bmatrix} X_y \\ Y_y \\ Z_y \end{bmatrix} = M_y \begin{bmatrix} X_y \\ Y_y \\ Z_y \end{bmatrix}$$
 (1)

式中:用R和T来表示物体与摄像机之间的相对位置关系。在本文中,以左侧摄像机为基准,因此,公式中 $M_w$ 为工业摄像机的外参数矩阵,即左摄像机与右摄像机之间的位置关系。

将 2D 转换为 3D:

$$Z_{C}\begin{bmatrix} u \\ v \\ 1 \end{bmatrix} = \begin{bmatrix} \alpha_{x} & 0 & u_{0} \\ 0 & \alpha_{y} & v_{0} \\ 0 & 0 & 1 \end{bmatrix} \begin{bmatrix} R & T \\ O_{3}^{T} & 1 \end{bmatrix} \begin{bmatrix} X_{W} \\ Y_{W} \\ Z_{W} \\ 1 \end{bmatrix} = M \begin{bmatrix} X_{W} \\ Y_{W} \\ Z_{W} \\ 1 \end{bmatrix}$$
(2)

工业相机内外参数标定结果:

$$\begin{cases} \alpha_{x} = \| m_{1} \times m_{3} \| \\ \alpha_{y} = \| m_{2} \times m_{3} \| \\ u_{0} = m_{1}^{T} m_{3} \\ v_{0} = m_{2}^{T} m_{3} \end{cases}$$
(3)

$$\begin{cases} r_1 = (m_1 - u_0 m_3)/\alpha_x \\ r_2 = (m_2 - v_0 m_3)/\alpha_y \\ r_3 = m_3 \end{cases}$$
(4)

$$\begin{cases}
T_x = (m_{14} - u_0 m_{34})/\alpha_x \\
T_y = (m_{24} - v_0 m_{34})/\alpha_y \\
T_z = m_{34}
\end{cases}$$
(5)

#### 1.2 标定结果

本文采用棋盘标定法,如图1基于MATLAB工具箱进行相机的标定。对采集到的22张图像进行同样的取点操作,经过左右相机标定后内参结果如表1,标定角点总数为6×10×22=1320个。

<sup>1.</sup> 江西理工大学机电工程学院 江西赣州 341000

<sup>2.</sup> 国网江西省电力有限公司赣州供电分公司 江西赣州 341000

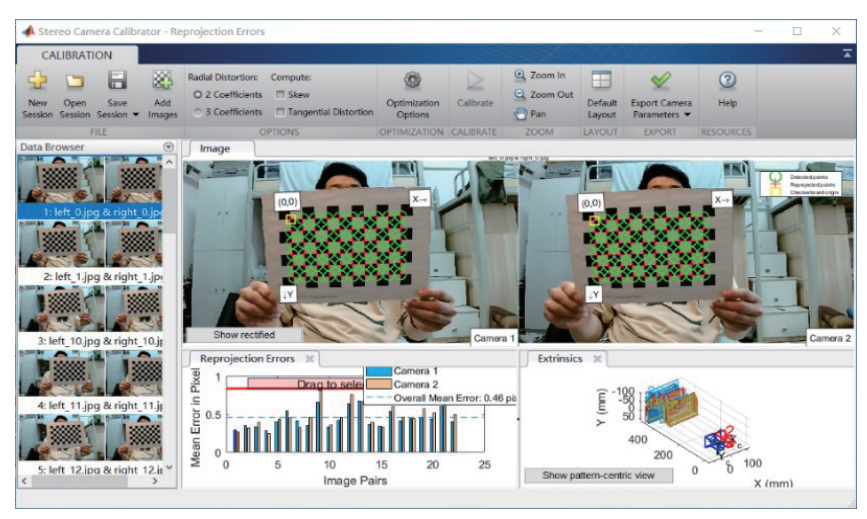


图 1 基于 MATLAB 标定

表1 内参结果

标定结果	左侧相机				右侧相机			
内参数	1 050.359 6 0 0	0 1 057.276 7 0	582.069 7 324.134 1 1		047.746 1 0 0	0 1 054.857 0 0	653.617 9 335.010 1 1	
畸变系数	[-0.202 2 0.057 0 0]				[-0.189 7 0.008 0 0]			
焦距	(1.050 359 6 1.057 276 7)			(1.047 746 1 1.054 857 0)				
主点	(582.069 7 324.134 1)			(653.617 9 335.010 1)				

世界坐标系的旋转矩阵和平移向量分别为:

$$R = \begin{bmatrix} 0.9978 & 0.0001 & -0.0657 \\ -0.0006 & 1.0000 & -0.0074 \\ 0.0657 & 0.0074 & 0.9978 \end{bmatrix}$$

 $T = \begin{bmatrix} -55.8702 & -0.0729 & 0.5395 \end{bmatrix}$ 

相机的固有参数: 焦距为  $2.4 \, \mathrm{mm}$ , 分辨率为  $1280 \times 720$ , 相对距离为  $60 \, \mathrm{mm}$ 。

左右相机标定的平均值由上述结果计算得出:

 $(1.050\ 359\ 6+1.057\ 276\ 7+1.047\ 746\ 1+1.054\ 857\ 0)$ × $2.2\div 4=2.315\ 6$  mm,与固定参数 2.4 mm 的焦距十分接近。 主点位置由分辨率推算:

$$\begin{cases} u_0 = \frac{H}{2} \\ v_0 = \frac{V}{2} \end{cases} \tag{6}$$

式中:  $(u_0, v_0)$  为主点坐标为;  $H \times V$  为相机的分辨率。 1280/2 = 640,720/2 = 360 与相机标定的左侧相机的主点坐标 (582.069 72, 34.134 1) 以及右侧相机的主点坐标 (653.617 9, 335.010 1) 主点坐标相机相差不大; 两相机相对距离通过平移向量 T 来推算:

 $\sqrt{(-55.870\ 2)^2 + (-0.072\ 9)^2 + (0.539\ 5)^2} = 55.873\ mm$ 与相机固定参数相对距离  $60\ mm$  十分接近。平移向量 T 中间的分量  $T_y$  是接近于 0 的,这是因为 xoy 坐标平面十分平行于相机安装平面,所以偏移量在 y 方向上接近于 0。

#### 2 目标工件的特征点提取

#### 2.1 SURF 算法原理

SURF 算法的基本思想是对整幅图像进行运算,并根据各像素点的海森矩阵行列式,构造 SURF 的标度锥体:

$$I_{\sum}(x,y) = \sum_{i=0}^{i \le x} \sum_{j=0}^{j \le y} I(x,y)$$
 (7)

式中: I(x,y) 是图像像素。

构造尺度空间利用 Hessian 矩阵判断极值点:

$$H(f(x,y)) = \begin{bmatrix} \frac{\partial^2 f}{\partial x^2} & \frac{\partial^2 f}{\partial x \partial y} \\ \frac{\partial^2 f}{\partial x \partial y} & \frac{\partial^2 f}{\partial y^2} \end{bmatrix}$$
(8)

Hessian 矩阵的计算公式为:

$$\det(H) = \frac{\partial^2 f}{\partial x^2} \frac{\partial^2 f}{\partial y^2} - \left(\frac{\partial^2 f}{\partial x \partial y}\right)^2 \quad (9)$$

利用二阶标准高斯函数对图像进行离散化处理,从而构造出具有不同尺度特征的多个响应图像。在象点 A(x, y) 上具有相应尺度的海森矩阵是:

$$H(A,\sigma) = \begin{bmatrix} L_{xx}(A,\sigma) & L_{xy}(A,\sigma) \\ L_{xy}(A,\sigma) & L_{yy}(A,\sigma) \end{bmatrix}$$
(10)

在图像点(x, v)处标准二阶高斯函数的卷积结果为:

$$L_{xx} = G(x, y, \sigma) \otimes I(x, y) \tag{11}$$

$$G(x, y, \sigma) = \frac{\partial^2 g(x, y, \sigma)}{\partial x^2}$$
 (12)

式中:  $g(x,y,\sigma)$ 是标准高斯函数。同理可得  $L_{xy}$ 、 $L_{yy}$ 。图像上所有点的 Hessian 行列式得以计算。

接着,对每个领域空间和尺度内的相应值进行比较,每个像素与其周围的26个像素元素进行比较,包括下一层的9个像素、上一层的9个像素以及同一层的8个像素,保留最大值。

对于每一个可能的特征点  $H(x,y,\sigma)$  假设为:

$$H(x) = H + \frac{\partial H^{T}}{\partial x}x + \frac{1}{2}x^{T}\frac{\partial^{2}H}{\partial x^{2}}x$$
 (13)

对式(13) 求导得:

$$\hat{x} = -\frac{\partial^2 H^{-1}}{\partial x^2} \frac{\partial H}{\partial x} \tag{14}$$

当  $\hat{x} = 0$  时可得:

$$\frac{\partial^2 H}{\partial x^2} = \begin{bmatrix} d_{xx} & d_{yx} & d_{sx} \\ d_{xy} & d_{yy} & d_{sy} \\ d_{xs} & d_{ys} & d_{ss} \end{bmatrix}$$
(15)

$$\frac{\partial H}{\partial x} = \begin{bmatrix} d_x \\ d_y \\ d_s \end{bmatrix} \tag{16}$$

由此获得了各特征点的位置。

## 2.2 基于欧式空间的坐标映射

将 SURF 算法得到的图像的像素点 (u, v) 通过式 (17)映射为三维坐标。

$$f(u,v) = F(x,y,z) \tag{17}$$

利用相似三角形原理,导出相应的解析公式:

$$\frac{D-f}{D} = \frac{B - (x_1 - x_r)}{B} \tag{18}$$

在 3D 视差图像处理中, 利用视差求取空间点 P(x, v, z)的三维坐标。利用三角形的相似性,结合像元与真实坐标之 间的对应关系,推导出精确的计算公式:

$$X_1 = f \frac{x}{z} \tag{19}$$

$$X_r = f \frac{X - B}{z} \tag{20}$$

在双目平行视觉模式下, 要求两台摄像机的中心点位于 同一平面上,并满足 v,=v,=v, 的条件。

$$y_y = f \frac{y}{z} \tag{21}$$

根据上述三个式子即可求解得空间点 P 的三维坐标式, 其公式为:

$$\begin{cases} x = \frac{Bx_1}{x_1 - x_r} \\ y = \frac{By_t}{x_1 - x_r} \\ z = \frac{Bf}{x_1 - x_r} \end{cases}$$
 (22)

工件视差图如图 2 所示。

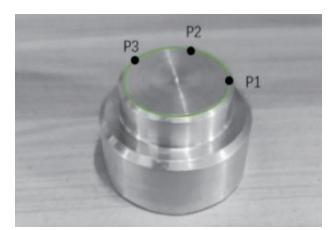


图 2 视差空间图像

圆柱体选择角点 $P_1$ 、 $P_2$ 、 $P_3$ ,求出其三维坐标,见表 2。

表 2 四个角点的空间三维坐标值

角点	角点左图像 像素坐标	角点右图像 像素坐标	角点三维坐标
$P_1$	4.10, 3.36	9.90, 3.36	4.81, 8.77, 18.88
$P_2$	7.75, 3.74	4.65, 3.75	8.75, 4.84, 18.36
$P_3$	7.60, 5.06	4.55, 5.08	7.89, 6.14, 18.98

#### 3 工件的空间定位方法

## 3.1 工件空间定位方法研究

根据相机模型计算,可以得到轮廓各点相对于相机坐标 系在空间中的位置信息:

$$X_i = \frac{(u_i \ u_0)\sigma_x}{f} Z_i \tag{23}$$

$$Y_i = \frac{(u_i - u_0)\sigma_y}{f} Z_i \tag{24}$$

目标圆轮廓各点的空间坐标 (X, Y, Z) 即可获得, 通过使 用轮廓中三点即可获得圆心坐标。空间定位双目图像如图 3 所示。

随机抽取轮廓中的三个点 $P_1(X_1, Y_1, Z_1)$ 、 $P_2(X_2, Y_2, Z_2)$ 、  $P_3(X_3, Y_3, Z_3)$ , 则此圆的空间法向量为:

$$\overrightarrow{o_{\perp}} = \overrightarrow{P_1 P_2} \times \overrightarrow{P_2 P_3} \tag{25}$$



图 3 空间定位双目图像

 $P_1$ 、 $P_2$ 、 $P_3$  组成的两条线的中垂线方向向量分别为:

$$P_1 P_{2\perp} = \overrightarrow{o_1} \times P_1 P_2 = (a_1, b_1, c_1)$$
 (26)

$$\overrightarrow{P_1P_{3\perp}} = \overrightarrow{o_{\perp}} \times \overrightarrow{P_1P_3} = (a_2, b_2, c_2) \tag{27}$$

线段  $P_1P_2$  和  $P_2P_3$  的中点分别是  $\frac{P_1+P_2}{2}(x_{12},y_{12},z_{12})$  和  $\frac{P_2+P_3}{2}(x_{23},y_{23},z_{23})$ 。所以两条线段的中垂线可以表示为:

$$l_1: \frac{x - x_{12}}{a_1} = \frac{y - y_{12}}{b_1} = \frac{c - c_{12}}{c_1}$$
 (28)

$$l_2: \frac{x - x_{23}}{a_2} = \frac{y - y_{23}}{b_2} = \frac{c - c_{23}}{c_2}$$
 (29)

此时的空间圆心  $O = l_1 \times l_2$  即为  $l_1$  与  $l_2$  的交点。通过取 值计算圆心的平均值来减少因为特征点提取误差带来的定位 误差。

## 3.2 工件偏转角定位方法

俯仰角与偏航角由  $\alpha$  和  $\beta$  来表示, 见图 4。

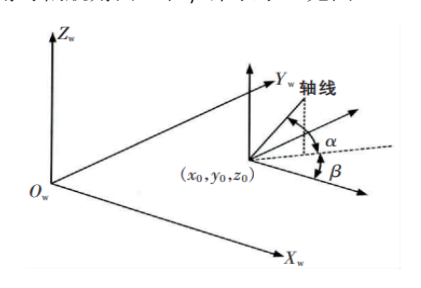


图 4 空间轴线参数示意图

交汇理论是指空间线段或空间直线, 它必定会在两个相 机图像平面上与相应的照相系统光心所决定的平面相交,其 原理见图 5。

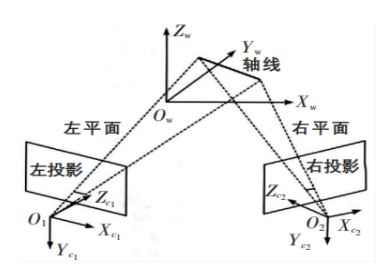


图 5 交汇原理图

左右相机光心和轴线在左右投影面上的投影共同确定的 面, 其表达式为:

$$a_l x + b_l y + \frac{c_l}{f} z = 0 \tag{30}$$

$$a_r x + b_r y + \frac{c_r}{f} z = 0 (31)$$

左右两个平面在世界坐标系下的坐标为:

$$A_{l}x + B_{l}y + C_{l}z + D_{l} = 0 (32)$$

$$A_r x + B_r y + C_r z + D_r = 0 (33)$$

联立(32)和(33)可得到空间轴线方程,之后依据数 学知识求三维姿态参数, 其公式为:

$$\begin{cases} \alpha = \arctan \frac{m}{\sqrt{l^2 + n^2}} \\ \beta = \arctan \frac{n}{l} \end{cases}$$
 (34)

式中: 
$$l = \begin{vmatrix} B_l & C_l \\ B_r & C_r \end{vmatrix}$$
,  $m = \begin{vmatrix} C_l & A_l \\ C_r & A_r \end{vmatrix}$ ,  $n = \begin{vmatrix} A_l & C_l \\ A_r & B_r \end{vmatrix}$ 

当 α 和 β (偏航角和俯仰角)角度值求得后就可以判断工 件的三维姿态了。

#### 3.3 实验结果

在双目视觉系统现场,工件将按照一定的空间姿态放置, 并在不同地点进行多次放置试验, 以检验通过双目视觉定位系 统所获得的工件空间位置。表3中为偏航角和俯仰角计算结果 以及误差, 表 4 为不同位置的 Z 轴坐标计算结果及误差。平 台与镜头的距离为900 mm,相机镜头的拍摄区域为105°。

表 3 偏航角俯仰角计算及误差

序	固定姿态	(°)	计算姿态	(°)	角度误差	(°)
号	偏航角	俯仰角	偏航角	俯仰角	偏航角	俯仰角
1	30	90	29.75	88.55	0	1.45
2	30	60	30.42	59.93	0.42	0.07
3	15	30	17.82	3.12	2.82	3.12
4	15	0	16.25	2.62	1.25	2.65
5	60	0	56.65	2.97	3.35	2.97
6	150	120	152.45	123.69	2.45	3.69
7	120	150	122.33	148.45	2.33	1.55
8	30	0	31.89	3.12	1.89	3.12

表 4 Z 轴坐标计算结果及误差

	序号	1	2	3	4	5	6	7	8
ſ	Z轴/mm	18.56	18.62	18.32	18.98	18.28	18.32	18.01	18.62
Γ	误差 /mm	0.56	0.62	0.32	0.98	0.28	0.32	0.01	0.62

根据上述误差分析可得,位置误差在深度方向在1mm 以内,姿态误差在 4°以内。Z轴的平均坐标值为:(18.56 +18.62+18.32+18.98+18.28+18.32+18.01+18.65)  $\div$  8=18.09mm 最后计算的工件中心坐标为(5.93, 6.02, 9.23)。

## 3.4 误差原因分析

根据上述工件位姿检测的数据来看,基于双目视觉的工 件位姿检测是可行的, 但仍然存在一定的误差, 误差来源包 括 3 方面: (1) 图像采集误差: 目标工件的表面不均匀, 而 环境的光照条件也会变化不定; (2) 相机标定误差: 可能标 定板本身就存在误差,导致标定的内外参数是近似结果; (3) 图像处理算法的误差:图像的采集会受到噪音和光照的影响, 因此图像的预处理和边缘检测会受影响。

#### 4 结语

本文提出了一种新型的工件位姿检测模型, 该模型将双 目相机标定、SURF 算法、欧式空间有效结合起来, 巧妙运 用了其特点,最终得到目标工件的位姿信息。实验结果表明, 本文模型能有效识别目标工件的位置姿态,并适用于日常工 业生产中,降低人力成本,提高生产质量。

#### 参考文献:

- [1] 李章伟、谭美坤. 工业 4.0 背景下技工院校智能制造专业 群虚拟仿真实训环境的创建和应用[J]. 知识窗(教师版). 2023(9):63-65.
- [2] 国务院关于印发《中国制造 2025》的通知 [EB/OL]. (2015-05-19)[2023-10-01].http://www.gov.cn/zhengce/ content/2015-05/19/content 9784.htm.
- [3] ZHANG Z. A flexible new technique for camera calibration[J].IEEE transactions onpattern analysis and machine intelligence, 2000,22(11):1330-1334.
- [4] 刘艳, 李腾飞. 对张正友相机标定法的改进研究[J]. 光学 技术, 2014,40(6):565-570.
- [5] 张旭, 毛庆洲, 时春霖, 等. 基于 2.5D 标定扇的线阵相机 内参数标定方法 [J]. 红外与激光工程,2024,53(4):180-190.
- [6] 陈美林, 蒋国涛, 皮志超, 等. 基于特征匹配的激光雷达和 相机外参标定方法 [J]. 控制与信息技术,2024(1):102-108.
- [7] 张胜国, 聂文泽, 饶维冬, 等. 基于重叠区域改进 SURF 的 无人机影像快速匹配算法 [J]. 无线电工程,2024,54(8):1978-1985.
- [8] 陈黎,龚安民,丁鹏,等.基于欧式空间-加权逻辑回归迁 移学习的运动想象 EEG 信号解码 [J]. 南京大学学报(自 然科学), 2022,58(2):264-274.
- [9] 邓仕超,周炉保,何新凯.改进的三频四步相移面结构光三维 重建算法 [J]. 组合机床与自动化加工技术 ,2024(8):13-16+21.
- [10] 黄鑫, 吉月辉. 六自由度无人直升机位置和偏航角跟踪控 制 [J]. 控制工程,2020,27(5):842-847.
- [11] 屈新芬, 李世玲, 徐林, 等. 两种双矢量 SINS 粗对准方 法大俯仰角适应性研究[J]. 太赫兹科学与电子信息学报, 2024, 22(8):859-864.

## 【作者简介】

龚友彬(2000-), 男, 江西南昌人, 本科, 研究方向: 机器视觉。

康曦(1995-),女,江西省赣州人,本科,工程师, 研究方向: 电力系统运行与控制、深度学习。

王军(1979-), 男, 辽宁本溪人, 硕士, 副教授, 硕 士生导师, 研究方向: 智能控制。

(收稿日期: 2024-08-14)